

高效液相色谱测定血小板 cAMP-磷酸二酯酶活力

韩金祥 王美岭 冯进波

(山东省医科院基础所,济南)

提 要

本文报道了离子交换高效液相色谱-紫外检测磷酸二酯酶(PDE)活力的方法。本方法的回收率为 $93.02 \pm 2.09\%$ ，重复性CV为3.16%，5'-AMP在17.0—90.7 pmol/10 μl、cAMP在138—1104 pmol/10 μl浓度范围内，相关系数分别为0.9986和0.9950。用5'-AMP生成率和cAMP的转化率表达PDE活力，两者吻合。本方法能灵敏地反映茶碱对PDE的抑制作用。

关键词：高效液相色谱，cAMP-磷酸二酯酶，血小板

磷酸二酯酶(PDE; E.C. 3.1.4.17)与腺苷酸环化酶配合控制细胞内cAMP水平。观察PDE活力变化对研究cAMP在细胞代谢调控中的作用具有重要意义。目前，PDE活力测定多采用“Batch”技术或称两步温育法^[1-3]。该方法虽应用广泛，但有下列不足点：(1)水溶性体积大^[4]；(2)cAMP与腺苷分离不完全^[1,4]；(3)空白较高^[1,4]；(4)标记化合物不稳定^[1]；(5)第二步酶反应易干扰实验，特别在研究药物对PDE的作用时，腺苷酸酶影响实验结果^[3]；(6)常用的腺苷酸酶——蛇毒中含有少量的PDF，给实验造成误差^[1]。

高效液相色谱(HPLC)具有高速、高效、高灵敏度、高准确度等优点，为分析cAMP、AMP以及腺苷提供了强有力地分析手段^[5]。本实验试图利用HPLC技术建立血小板PDE活力测定方法，为临床和基础研究提供有效的分析方法。

材料和方法

一、主要试剂和仪器

血小板洗液：50m mol/L Tris-AC，pH 6.0；2m mol/L EDTA，0.9% NaCl，血小板悬液：50 m mol/L Tris-AC pH7.5，20m mol/

L MgCl₂，0.1 mg/ml BSA，主要试剂：cAMP、5'-AMP、腺苷、ATP、茶碱均为美国Sigma公司产品。

高效液相色谱：美国 Varian-5060型；色谱数据处理仪：美国惠普公司 3390 A 型。

二、酶制剂制备

参考 Wang 等^[2]方法，略加改进，用硅化试管、吸管和针头，空腹抽血，按9:1的比例加3.8% 柠檬酸钠抗凝，室温下离心160g×7min，取上清 PRP (platelet rich plasma) 计量，取20 μl PRP 计数^[6]，PRP 离心2000g×10min，倾上清 PPP (platelet poor plasma) 得血小板沉淀，用血小板洗液洗涤两次，将血小板悬浮在血小板悬液中，低温(-70°C)快速冻融两次，离心6000g×15min 取上清得 PDE，Bradford 法^[7]定蛋白。

三、酶活力测定

参考张林华等^[4]方法，反应体系为50 m mol/L Tris-AC, pH7.5, 5m mol/L MgSO₄, 75m mol/L 羟基乙醇, 22.7 μ mol/L cAMP, 加适量PDE制剂，总体积为200 μl。37°C温育15 min，沸水浴90s终止反应，离心除蛋白，取上清10 μl进行色谱分析。酶活力单位： $\text{pmol}/(\text{mg} \cdot \text{protein} \cdot \text{min})$ 。

四、色谱条件

色谱柱: Micropak AX-5 30 cm × 4mm; 检测器: UV-100, $\lambda = 259$ nm; 流动相: 20 mmol/L KH₂PO₄, pH 3; 双蒸水; 流速: 1ml/min; 柱温: 25°C。

五、分析方法

定性分析以 cAMP、5'-AMP、腺苷等标准样品在相同条件下的保留时间 (RT), 并增加标准样品检验峰是否升高。定量分析以峰高数记录, 用已知浓度标准样品作曲线, 按标准曲线计算待测样品的含量。

结果与讨论

一、最佳色谱条件

标准样品紫外吸收光谱扫描, 各样品的最大吸收光谱分别为腺苷: 259.4nm, AMP: 258.8 nm, ATP: 259.0 nm, cAMP: 268.0nm, 我们选用 259nm 波长的检测器。

Micropak AX-5 为离子交换色谱柱, 流动相的 pH 值和离子强度是影响分离度的两个主要因素。流动相为 20mmol/L KH₂PO₄ 时, 不同 pH 下色谱保留时间见表 1。

表 1 pH 对保留时间 (min) 的影响

pH	腺苷	cAMP	5'-AMP	ATP
5	3.88	13.36	18.65	31.92
3	2.09	6.23	9.18	14.00

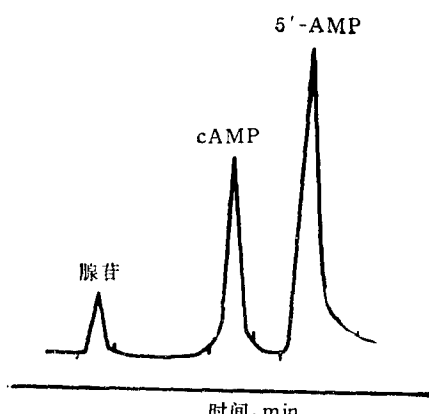


图 1 腺苷、cAMP、5'-AMP 色谱分离图

在 pH 3 不变情况下, KH₂PO₄ 浓度为 10

mmol/L 时, 5'-AMP 的保留时间为 11.3 min, KH₂PO₄ 浓度为 20 mmol/L 时, 5'-AMP 的保留时间为 9.18 min。由此可见, 在本实验条件下, 腺苷酸的保留时间随流动相 pH 的降低和离子强度的升高而变小, 我们选用的流动相为 pH 3, 20 mmol/L KH₂PO₄, 在此条件下几种腺苷酸的分离度 $R_s > 1$ (图 1), 分离效果良好。

本实验所用数据处理仪为积分仪, 由于峰面积受杂质峰的影响较大, 我们以峰高数定量, 峰高数与输入信号的关系为: 1 高度数 = 1.25×10^{-4} mV。

二、5'-AMP、cAMP 测定的线性范围

在选定的色谱条件下, 不同浓度的各样品重复进样三次, 取平均值, 并以峰高数对样品浓度作曲线。5'-AMP 在 17.0—90.7 pmol/10 μl 的范围内, 相关系数为 $r = 0.9986$ (图 2); cAMP 在 138—1104 pmol/10 μl 的范围内,

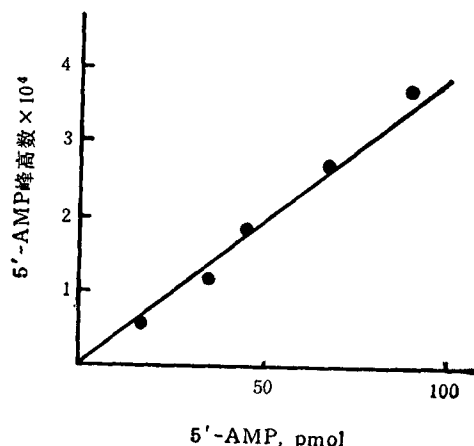


图 2 5'-AMP 测定的线性关系

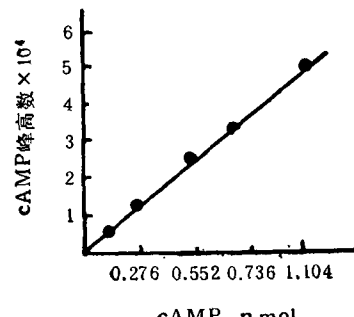


图 3 cAMP 测定的线性关系

$r = 0.9950$ (图 3), 5'-AMP、cAMP 在一定浓度范围内, 线性关系良好。

三、色谱仪重复性实验

同一 5'-AMP 样品, 重复进样 8 次 ($n = 8$), 保留时间的变异系数 $CV = 0.037\%$, 峰高数的变异系数 $CV = 2.19\%$, 色谱仪重复性良好。

四、酶浓度对 PDE 活力的影响

以灭活的 PDE 制剂作空白对照, 在相同的酶反应条件下, 分别记录 5'-AMP 的生成率和 cAMP 的转化率, 结果表明(图 4、图 5), 酶量在 4—10 μg 范围内呈线性关系, 其曲线类型相似皆呈“S”型, 说明 cAMP 的转化率与 5'-

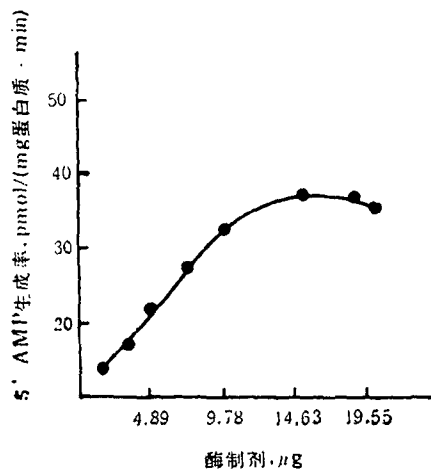


图 4 酶浓度对 5'-AMP 生成率的影响
底物 cAMP 浓度为 22.7 $\mu\text{mol}/\text{L}$

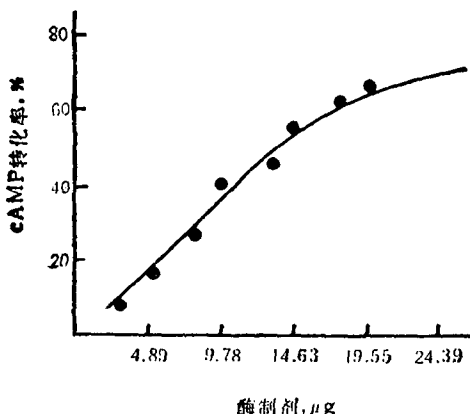


图 5 酶浓度对 cAMP 转化率的影响
底物 cAMP 浓度为 22.7 $\mu\text{mol}/\text{L}$

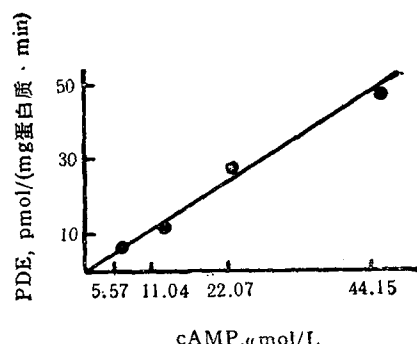


图 6 cAMP 对 PDE 活力影响
酶量: 9.7 μg

AMP 的生成率相吻合。

五、底物 cAMP 对 PDE 活力的影响

在合适的酶浓度下, 改变 cAMP 浓度, 测定 PDE 活力变化, 在一定浓度范围内, PDE 活力与 cAMP 浓度线性相关(图 6)。

六、茶碱对 PDE 的抑制作用

茶碱是 cAMP-PDE 的抑制剂^[10]。在本实验条件下观察茶碱对 PDE 活力的影响, 结果显示: HPLC 法测定 PDE 活力能灵敏地反映茶碱对 PDE 的抑制作用。当茶碱浓度达到一定水平时, 抑制达到饱和(图 7)。

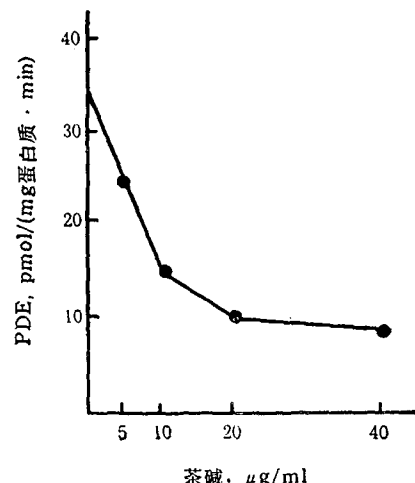


图 7 茶碱对 PDE 活力的影响

七、PDE活力测定的重复性和回收率实验

同一样品, 平行管测定 PDE 活力, 重复性为 $CV = 3.16\%$ ($n = 8$); 回收率为 93.02 ± 2.09% ($n = 6$)。说明本方法有效好的重复性

和回收率。

任何一种 PDE 活力测定方法都应尽量使 PDE 的作用产物全部回收，在 Batch 技术中，这些产物包括腺苷、肌苷、次黄嘌呤、嘌呤等^[11,12]，众多的产物影响实验的回收率。最初用 Batch 技术测定 PDE 活力时，回收率仅为 60%^[1]，改进后的回收率为 68.9%^[4]，本方法的回收率为 93.02%，优于其他方法。

由于商品阴离子交换树脂对腺苷的特异性不够高^[13,14]，普通色谱不能使腺苷和 cAMP 分离完全^[3]。HPLC 的高效、准确等特点克服了分离不完全的缺点，使几种核苷酸的 $R_f > 1$ 。
HPLC 法不涉及同位素，一方面消除了由于同位素不稳定，易脱落造成的误差^[1]，另一方面减少了实验室的同位素污染。本方法的缺点是由于一般粗酶样品中同时存在多种 5'-核苷酸酶，使 5'-AMP 分解而可能引起误差^[4]，但在两步保温法中，常用的核苷酸酶——蛇毒常常含有 PDE^[1]，同样会给实验带来误差。HPLC 法避免了第二步酶反应可能引起的误差。特别在研究药物对 PDE 的影响时，本方法避免了第二种酶的干扰^[3]，提高了结果的准确度。为了考察本方法的可靠性，我们观察了茶碱对 PDE 的抑制作用，结果表明本方法能灵敏地反映茶碱对 PDE 的抑制作用；另外，HPLC 法可同时测定 cAMP 的转化率和 5'-AMP 的生成率，且两者吻合，说明了本方法的可靠性。

PDE 以多种形式存在，动力学行为较为复杂^[15]，它们的分布、动力学性质及底物特异性不同，其作用机理及生理功能尚未阐明。在我们的实验中，观察到在一定底物浓度时，随酶量的增加，PDE 活力增加呈类似 S 型曲线，此结果与张林华等^[13]的结果相似。

综上所述，结合我们的实验结果，充分说明 HPLC-UV 测定 PDE 活力具有高效、快速、简便、重复性好、回收率高、非放射性等优点，可应用于临床和基础研究。

参 考 文 献

- 1 Nakai C et al. *Biochim Biophys Acta*, 1975; 391: 222
- 2 Van Loomerem Compagne M M et al. *Anal Biochem*, 1983; 135: 146
- 3 Aria A et al. *Anal Biochem*, 1987; 165: 128
- 4 张林华等. 生物化学与生物物理进展, 1986; (3): 58
- 5 Thompson W J et al. *Biochem*, 1971; 10: 311
- 6 Lin L et al. *J Chromat*, 1985; 341: 43
- 7 Wang Z et al. *Thromb Haemostas*, 1982, 48: 301
- 8 Dilip S et al. *Am J Clin Path*, 1976; 72: 248
- 9 Bradford M et al. *Anal Biochem*, 1976; 72: 248
- 10 凌柱三, 国外医学(输血及血液学分册), 1986; 9(2): 65
- 11 Boudreau R T et al. *Anal Biochem*, 1975; 63: 388
- 12 Rutten W J et al. *Biochim Biophys Acta*, 1973; 315: 378
- 13 Lynch T J et al. *Anal Biochem*, 1975; 67: 130
- 14 Ohy K K et al. *Anal Biochem*, 1976; 76: 53
- 15 Greengard P et al. *Adv Cyclic Nucleotide Res*, 1977; 8: 119

〔本文于 1989 年 7 月 14 日收到〕

北京市星火技术研究所转让最新研制的生物节律监测仪技术

本生物节律监测仪采用了最新成果，能预测最佳受孕期、追溯受孕日节律、预测个人生物节律、预测集体生物节律，其准确率在 80% 以上，将广泛应用于各类生产、建设性单位、车队和医院。使用本机还可从事专业监测经营，预计需求量在 100 万台以上。

本监测仪由主机、打印机及软件组成，主机系进出口原装件。生产成本每套 2000 元（含主机、打印机），零售价 4500 元，适于各类电子企业、商店、俱乐部生产和经营。

技术转让费 8000 元，单购样机 4500 元（包括样机一部，负责技术培训与调试）。

〔北京市星火技术研究所，北京 867 信箱 20816 组，邮政编码：100024，李群〕